

บทที่ 1 บทนำ

1.1 ความสำคัญและที่มาของปัญหาที่ทำการวิจัย

โครงการนี้มุ่งไปที่การเตรียมวัสดุ nano ใหม่ที่มีโครงสร้างผลึกต่างๆ กัน เพื่อนำไปใช้เป็นตัวเร่งปฏิกิริยาในการเปลี่ยนกรดไขมัน (fatty acid) ซึ่งได้จากแหล่งชีวมวล (biomass feedstock) เช่น น้ำมันพืช หรือไขมันสัตว์ไปเป็นเชื้อเพลิงดีเซล ผ่านปฏิกิริยา decarboxylation, deoxygenation, หรือ ketonization การใช้ตัวเร่งปฏิกิริยาเพื่อเปลี่ยนน้ำมันพืชหรือไขมันสัตว์ให้เป็นเชื้อเพลิงดีเซลนี้ เป็นแนวทางสำคัญในการแสวงหาพลังงานทดแทน (renewable energy) จากแหล่งในประเทศไทย ซึ่งเป็นประโยชน์ต่อเศรษฐกิจและความมั่นคงด้านพลังงานของประเทศไทย

ตัวเร่งปฏิกิริยาที่ใช้ในการเปลี่ยนกรดไขมันเป็นเชื้อเพลิงดีเซล สามารถแบ่งตามชนิดของตำแหน่งว่องไวต่อปฏิกิริยา (active site) ได้หลายประเภท คือ (i) ตัวเร่งปฏิกิริยาที่เป็นโลหะทรานซิชัน ที่ปรับแต่งด้วยชัลเฟอร์ (sulfide catalysts), (ii) ตัวเร่งปฏิกิริยาจำพวกโลหะมีค่า (iii) ตัวเร่งปฏิกิริยาที่สามารถเกิด oxygen vacancy sites ได้ เช่น TiO_2 , CeO_2 , ZrO_2 และ (iv) ตัวเร่งปฏิกิริยาที่มีความเป็นเบส ตัวเร่งปฏิกิริยาชนิดสุดท้ายนี้มีความหลากหลายทั้งในแบบโครงสร้างและคุณสมบัติทางเคมี แต่ยังไม่ได้รับการศึกษามากนักเทียบกับสามชนิดแรก

ตัวเร่งปฏิกิริยาข้างต้นมักเป็นวัสดุที่มีขนาดอยู่ในระดับ奈米เมตร ซึ่งมีข้อจำกัดคือ มีพื้นที่ผิวสำหรับเกิดปฏิกิริยาน้อย และการเปลี่ยนแปลงคุณสมบัติมักจำกัดอยู่ที่การเปลี่ยนองค์ประกอบของวัสดุ การใช้วัสดุ nano (nanomaterials) เป็นตัวเร่งปฏิกิริยามีข้อได้เปรียบคือ สามารถสังเคราะห์ให้มีพื้นที่ผิวมากกว่าผลึกตั้งตัน ดังนั้น ตัวเร่งปฏิกิริยาที่ประกอบขึ้นจากวัสดุ nano จะเพิ่มโอกาสที่กรดไขมันสัมผัสถูกตัวเร่งว่องไวต่อปฏิกิริยา และอาจทำให้วัสดุ nano แสดงสมบัติเป็นตัวเร่งปฏิกิริยาที่ดีกว่า หรือแตกต่างจากตัวเร่งปฏิกิริยาที่เตรียมจากวัสดุในระดับ奈米เมตร

โครงการนี้จะศึกษาวัสดุใหม่ที่มีโครงสร้างหลากหลาย เช่น แบบเป็นชั้น (คือ เลพิโดโครไซท์ ใหมาเนท $K_{0.8}Zn_{0.4}Ti_{1.6}O_4$, potassium tetratitanate $K_2Ti_4O_9$, และ sodium trititanate $Na_2Ti_3O_7$) และแบบที่เป็นอุโมงค์ ($K_2Ti_6O_{13}$, $Na_2Ti_6O_{13}$, และ $Li_2Ti_6O_{13}$) เทียบกับ TiO_2 ที่มีโครงสร้างแบบอนาเทส รวมถึงวัสดุ nano ใหมาเนทบางประเภท เช่น นาโนทิวบ์ (nanotube) ซึ่งประกอบจากการม้วนตัวของ nano ในชีทด้วย

1.2 วัตถุประสงค์ของโครงการวิจัย

- 1.2.1 เพื่อเตรียมวัสดุใหมาเนทที่มีโครงสร้างต่างๆ ที่มีขนาดในระดับนาโนเมตร
- 1.2.2 เพื่อใช้วัสดุใหมาเนทที่เตรียมขึ้นเป็นตัวเร่งปฏิกิริยา ในการเปลี่ยนกรดไขมันไปเป็นเชื้อเพลิงดีเซล และเพื่อทราบสภาพการทดลองที่เหมาะสม สำหรับปฏิกิริยาดังกล่าว
- 1.2.3 เพื่ออธิบายความสัมพันธ์ ระหว่างคุณสมบัติทางกายภาพและคุณสมบัติทางเคมีของวัสดุใหมาเนท เช่นพื้นที่ผิว ความแรงของเบสและปริมาณเบส อิทธิพลของแคทไอออน ต่อคุณสมบัติการเป็น

ตัวเร่งปฏิกิริยาการเปลี่ยนกรดไขมันเป็นเชื้อเพลิงดีเซลปฏิกิริยาที่ใช้กันทั่วไป (conventional catalysts) ได้

และสามารถเบรี่ยบเทียบผลการทดลองท้าตัวเร่ง

1.3 ขอบเขตของโครงการวิจัย

1.3.1 สังเคราะห์วัสดุนาโนไทยในเทคนิคต่างๆ คือ $K_{0.8}Zn_{0.4}Ti_{1.6}O_4$, $K_2Ti_6O_{13}$, $Na_2Ti_6O_{13}$, $Li_2Ti_6O_{13}$, $K_2Ti_4O_9$, $Na_2Ti_3O_7$ และ titanate nanotubes

1.3.2 พิสูจน์ลักษณะของสารประกอบที่สังเคราะห์ขึ้น โดยเทคนิค X-ray powder diffraction (XRD), N_2 asorption/desorption, scanning electron microscope (SEM), และพิสูจน์ความเป็นเบสด้วยเทคนิค carbon dioxide temperature-programmed desorption (CO_2 -TPD)

1.3.3 ทดสอบการเร่งปฏิกิริยาของวัสดุที่สังเคราะห์ขึ้น โดยเลือกใช้กรดอะซีติกเป็นสารตั้งต้น ใช้ fixed bed flow reactor ในสภาวะห้องที่ทำการรีดักชันและไม่ทำการรีดักชัน ศึกษาอิทธิพลของอุณหภูมิที่ทำปฏิกิริยา, เวลาที่สารตั้งต้นสัมผัสกับตัวเร่งปฏิกิริยา (contact time), และเวลาที่ใช้ในการทำปฏิกิริยา เปรียบเทียบผลกับตัวเร่งปฏิกิริยาที่ใช้กันทั่วไปคือ MgO ต่อจากนั้นเลือกบางสภาพการทดลองมาทดสอบกับกรดເອປະໂນອົກซິ່ງມີສາຍໂຫຼດບອນຍາວັນ เพื่อเป็นตัวแทนของกรดไขมัน

1.3.4 วิเคราะห์ผลิตภัณฑ์ที่เป็นของเหลวด้วย gas chromatograph ซึ่งมีดีเทคโนโลยีเป็น flame ionization detector (FID)

1.3.5 สรุปความสัมพันธ์ระหว่างโครงสร้างผลึก, สัณฐาน, ปริมาณของเบส และความแรงของเบส ที่เป็นคุณสมบัติของวัสดุนาโนที่สังเคราะห์ขึ้น ต่อการเปลี่ยน (conversion) ของสารตั้งต้น และผลได้ (yield) ของผลิตภัณฑ์ที่ต้องการ

1.4 แผนการดำเนินงานตลอดการวิจัย

รายการ	เดือน					
	1-2	3-4	5-6	7-8	9-10	11-12
1. สังเคราะห์วัสดุนานาโนไซท์เมทันิดต่างๆ คือ $K_{0.8}Zn_{0.4}Ti_{1.6}O_4$, $K_2Ti_6O_{13}$, $Na_2Ti_6O_{13}$, $Li_2Ti_6O_{13}$, $K_2Ti_4O_9$, $Na_2Ti_3O_7$ และ titanate nanotubes						
2. พิสูจน์ลักษณะของสารประกอบที่สังเคราะห์ขึ้น โดยเทคนิค X-ray powder diffraction (XRD), surface area measurement, scanning electron microscope (SEM), และพิสูจน์ความเป็นเบสด้วยเทคนิค carbon dioxide temperature-programmed desorption (CO_2 -TPD)						
3. ทดสอบการเร่งปฏิกิริยาโดยเลือกรูปแบบซีติกเป็นสารตั้งต้น ใช้ fixed bed flow reactor ในสภาวะทั้งที่ทำการรีดักชัน และไม่ทำการรีดักชัน ศึกษาอิทธิพลของอุณหภูมิที่ทำปฏิกิริยา, เวลาที่สารตั้งต้นสัมผัสกับตัวเร่งปฏิกิริยา (contact time), และเวลาที่ใช้ในการทำปฏิกิริยา วิเคราะห์ผลิตภัณฑ์						
4. ทำการทดลองข้อ 3 โดยใช้กรดไฮปะตอนอิกเป็นสารตั้งต้น						
5. ทำการทดลองข้อ 3 โดยใช้ TiO_2 เป็นตัวเร่งปฏิกิริยา						
6. สรุปผลการทดลอง เขียนรายงาน						

1.5 ประโยชน์ที่คาดว่าจะได้รับ

1.5.1 ได้เพิ่มพูนความรู้และความเข้าใจพื้นฐานและเกิดองค์ความรู้ใหม่ เกี่ยวกับ คุณสมบัติของวัสดุนานาชนิดที่มีโครงสร้างผลึกต่างๆกัน รวมถึงตัวแปรต่างๆทั้งที่เกี่ยวกับตัววัสดุเอง และที่เกี่ยวกับกระบวนการ ที่มีผลต่อการเปลี่ยนกรดไขมันไปเป็นเชื้อเพลิงดีเซล

1.5.2 สามารถนำเสนอผลงานวิจัยในที่ประชุมวิชาการ และตีพิมพ์เผยแพร่ในวารสารทาง วิชาการระดับนานาชาติ เพื่อเป็นกรณีศึกษาและข้อมูลสำหรับนักเรียน นักศึกษา บุคลากรรุ่นใหม่ และผู้ที่สนใจต่อไป

1.6 ผลสำเร็จและความคุ้มค่าของการวิจัยที่คาดว่าจะได้รับ

คาดว่าโครงการวิจัยนี้จะสร้างองค์ความรู้และเทคโนโลยีใหม่ ที่อาจได้รับการพัฒนาไปเป็น กระบวนการทางอุตสาหกรรม ในการเปลี่ยนกรดไขมันจากแหล่งชีวมวลไปเป็นเชื้อเพลิงดีเซล

บทที่ 2

ทฤษฎี สมมติฐาน ครอบแนวความคิดของโครงการวิจัย และการทบทวนวรรณกรรมที่เกี่ยวข้อง

2.1 ทฤษฎี สมมติฐาน และครอบแนวความคิดของโครงการวิจัย

2.1.1 เป็นที่ทราบจากผลงานวิจัยที่ผ่านมาว่า วัสดุเช่นโลหะออกไซด์ที่เป็นเบสหรือวัสดุที่สามารถถลายน้ำให้ออกไซด์ที่เป็นเบส สามารถเร่งปฏิกิริยาการเปลี่ยนกรดไขมันไปเป็นเชื้อเพลิงดีเซลได้ วัสดุไทยาเนทซึ่งประกอบขึ้นจากไทยานียมและออกซิเจน ซึ่งมีประจุเป็นลบ จึงเป็นวัสดุที่น่าสนใจว่าอาจแสดงสมบัติความเป็นเบส และอาจสามารถเร่งปฏิกิริยาข้างต้นได้เช่นกัน

2.1.2 โครงสร้างที่หลากหลายของวัสดุไทยาเนทซึ่งมีความแตกต่างแต่เกี่ยวเนื่องกัน อาจช่วยเพิ่มพูนความเข้าใจพื้นฐานเกี่ยวกับคุณสมบัติทางเคมีของวัสดุ ต่อการเปลี่ยนกรดไขมันไปเป็นเชื้อเพลิงดีเซล ซึ่งอาจนำไปประยุกต์ใช้กับงานอื่นที่ต้องการหมุนเวียนความร่วงไว้เป็นเบสด้วย

2.1.3 วัสดุที่เป็นผลึกในระดับไมโครเมตรอาจมีความร่วงไวามากขึ้น เมื่อลดขนาดลงจนอยู่ในระดับนาโนเมตร อันเนื่องมาจากพื้นที่ผิวที่เพิ่มขึ้น ซึ่งทำให้โอกาสที่ทำแหน่งร่องไวบนตัวเร่งปฏิกิริยาจะพบกับสารตั้งต้นเพิ่มขึ้นด้วย

2.2 การทบทวนวรรณกรรมที่เกี่ยวข้อง

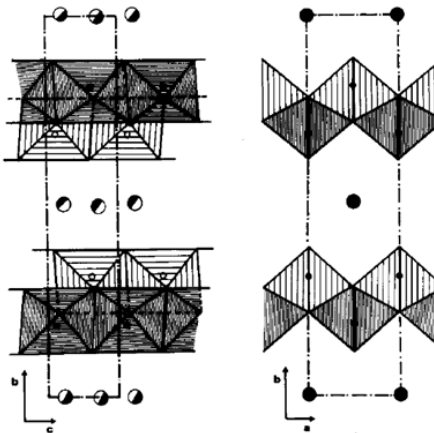
การเปลี่ยนกรดไขมันไปเป็นเชื้อเพลิงดีเซล จะเกิดผ่านปฏิกิริยาต่อไปนี้ คือ (2.1) decarboxylation, (2.2) decarbonylation, (2.3) hydrodeoxygenation, และ (2.4) ketonization



ตัวเร่งปฏิกิริยาที่มีการศึกษา กันในการเปลี่ยนกรดไขมันเป็นเชื้อเพลิงดีเซล เช่น (i) ตัวเร่งปฏิกิริยาที่เป็นโลหะจำพวก Ni, Mo, W, Co หรืออัลลอยของโลหะดังกล่าวที่ปรับคุณสมบัติด้วยชัลเฟอร์ อยู่บนตัวรองรับหลายชนิด^{1, 2} ข้อด้อยของการใช้ตัวเร่งปฏิกิริยาเหล่านี้คือ เชื้อเพลิงที่สังเคราะห์ได้อาจปนเปื้อนด้วยชัลเฟอร์จากตัวเร่งปฏิกิริยา (ii) ตัวเร่งปฏิกิริยาจำพวกโลหะมีค่า เช่น Pd, Ru, Rh อยู่บนตัวรองรับ ซึ่งเป็นออกไซด์ทั่วไปหรือเป็นวัสดุมีรูพรุน^{3, 4, 5, 6} อย่างไรก็ตาม ตัวเร่งปฏิกิริยานิดนี้มีราคาแพงเนื่องจากการใช้โลหะมีค่าเป็นองค์ประกอบ, (iii) ตัวเร่งปฏิกิริยาที่สามารถเกิด oxygen vacancy sites⁷ ได้ เช่น TiO₂, CeO₂, ZrO₂ ตัวเร่งปฏิกิริยากลุ่มนี้มีไม่นำกันนัก และมีเคมีที่ค่อนข้างจำกัด และ (iv) ตัวเร่งปฏิกิริยาออกไซด์ที่มีความเป็นเบส^{8, 9, 10, 11} เช่น MgO, BaO หรือออกไซด์ที่ได้จากการถลายน้ำที่มีโครงสร้างเป็นชั้น (layered materials) บางประเภท เช่น ไฮドรอตอลไซท์ (hydrotalcite) หรือ layer double hydroxide (LDH) ตัวเร่งปฏิกิริยานิดที่สีน้ำเงินได้รับการศึกษามากนักเทียบกับสารชนิดทางด้านต้น

โครงการวิจัยนี้จะศึกษาการใช้ตัวเร่งปฏิกิริยาที่เป็นวัสดุนาโนไทยานียมประภาก วัสดุนิดแรกมีโครงสร้างแบบเล庇โดครอไซท์¹² (lepidocrocite) (รูปที่ 2.1) ซึ่งประกอบด้วยหน่วย TiO₆ ที่เชื่อมกันทางขอบ

และประกลบขึ้นเป็นแผ่น (sheet) แผ่นดังกล่าววางซ้อนกันเป็นชั้นๆ เกิดเป็นผลึก สามารถแทนที่ Ti^{4+} ได้ด้วยแคทไอโอน (M) อื่นที่มีประจุไม่เท่ากับ +4¹² การแทนที่ดังกล่าวทำให้แผ่นของ $(Ti,M)O_6$ มีประจุลบเพื่อรักษาประจุของผลึกให้เป็นกลาง จะพบแคทไอโอน (ซึ่งมักเป็นอัลคาไลแคลท์ไอโอน) อยู่ระหว่างชั้น เมื่อพิจารณาว่าโดยทั่วไปแล้วตำแหน่งว่างไวซึ่งมีคุณสมบัติเป็นเบส (base active site) ของออกไซด์คือออกซิเจนซึ่งเป็นลูอิสเบส (Lewis base) ชั้นที่มีประจุลบของเลพิโดโครไซท์อาจแสดงสมบัติความเป็นเบสได้ สามารถพิสูจน์เอกลักษณ์ของ base active site ด้วยเทคนิคต่างๆ เช่น ไฟเทเรชันโดยใช้อินดิเคเตอร์ การตรวจสอบด้วย solid state nuclear magnetic resonance (NMR) ของออกซิเจน หรือการให้ตัวเร่งปฏิกิริยาดูดซับโมเลกุลตรวจวัด (probe molecule) บนพื้นผิว เช่น CO_2 แล้วพิสูจน์ลักษณะของโมเลกุลตรวจวัดที่เปลี่ยนไปด้วยเทคนิค เช่น Infrared spectroscopy (IR), NMR หรือ temperature programmed desorption (TPD) เป็นต้น

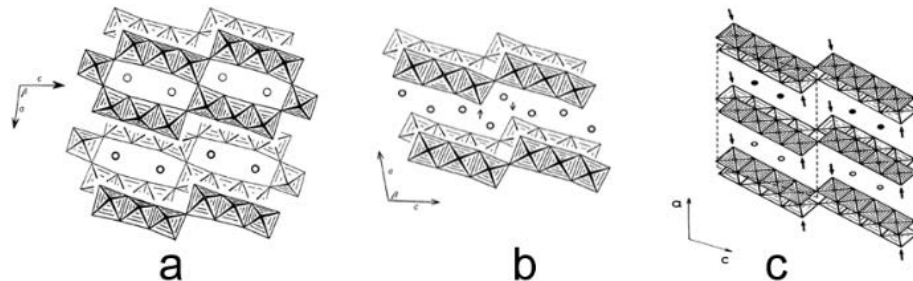


รูปที่ 2.1 โครงสร้างผลึกเลพิโดโครไซท์ไฟฟานาท¹² บนระนาบ bc (ซ้าย) และระนาบ ab (ขวา)

นอกจากนี้ สามารถสังเคราะห์วัสดุนาโนไฟฟานาทอื่นเช่น titanate nanotubes ได้ โดยเริ่มต้นจากผลึกเลพิโดโครไซท์ไฟฟานาท แล้วทำการแลกเปลี่ยนprotoion, การแยกแผ่น $(Ti,M)O_6$ ออกจากกันด้วยระยะห่างเป็นอนันต์ (exfoliation)¹³ ตามด้วยการม้วนกลับของนาโนซิทไปเป็นนาโนทิวบ์¹⁴ อาจพิจารณาว่านาโนทิวบ์เป็นอีกสัณฐานหนึ่งของนาโนซิท โดยนาโนซิทที่ประกอบเป็นผลึกอยู่ก่อนนั้นจะแยกออกจากกันแล้วม้วนตัวเป็นทิวบ์ อย่างไรก็ตาม อาจสังเคราะห์นาโนทิวบ์ได้ด้วยวิธีที่ง่ายกว่าคือวิธี hydrothermal¹⁵

โครงการนี้จะได้ศึกษาวัสดุอัลคาไลไฟฟานาท (alkali titanate) ซึ่งมีสูตรทั่วไปเป็น $A_2O \cdot nTiO_2$ เพิ่มไปจากเลพิโดโครไซท์ด้วย วัสดุอัลคาไลไฟฟานาทมีโครงสร้างต่างๆ กันขึ้นกับชนิดของ A และขึ้นกับค่า n ประจุลบพื้นผิวของวัสดุอัลคาไลไฟฟานาทอาจแสดงความเป็นเบสได้เช่นกัน ตัวอย่างสารในกลุ่มนี้เช่น alkali hexatitanate¹⁶ ซึ่งมีสูตรโดยทั่วไปเป็น $A_2Ti_6O_{13}$ ($A = K, Na, Li, H$) มีโครงสร้างดังแสดงในรูปที่ 2.2a โดยหน่วยพื้นฐานของโครงสร้างนี้คือ TiO_6 ที่ต่อกันทางขอบ (edge-shared) เกิดเป็น ribbon ที่ประกอบด้วยหน่วย TiO_6 3 หน่วย โดยแต่ละ ribbon เชื่อมกันที่มุมเกิดเป็นอุโมงค์ซึ่งมีที่ว่างให้แคทไอโอนอยู่ มีรายงาน

แสดงสมบัติของสารเหล่านี้ในการประยุกต์ใช้งานต่างๆ เช่นเป็นตัวเร่งปฏิกิริยาที่เข็มสัง, เป็นอิเลคโทรดสำหรับใช้เป็นแบตเตอรี่, เป็นวัสดุสำหรับการบำบัดน้ำเสียโดยดักจับแครทไออกอนที่ไม่ต้องการฯลฯ



รูปที่ 2.2 โครงสร้างผลึกของ (a) $A_2Ti_6O_{13}$,¹⁶ (b) $Na_2Ti_3O_7$,¹⁷ และ (c) $K_2Ti_4O_9$ ¹⁸

โครงสร้างของ sodium trititanate¹⁷ ($Na_2Ti_3O_7$) แสดงในภาพที่ 2.2b อาจพิจารณาว่าโครงสร้างนี้เกิดจากอุโมงค์ของ $A_2Ti_6O_{13}$ ที่ไม่ได้เชื่อมกันอีกต่อไป แต่หลุดออกจากและเกิดเป็นชั้นแบบซิกแซก โดยมีเอลคาไลแคนท์ไออกอนอยู่ระหว่างชั้น โครงสร้างของ potassium tetratitanate¹⁸ ($K_2Ti_4O_9$) ในรูปที่ 2.2c ที่มีลักษณะเป็นชั้นคล้ายกัน แต่เปลี่ยนจากหน่วย TiO_6 ที่ต่อกันสามหน่วยและเกิดเป็น ribbon ไปเป็นสี่หน่วยแทน

ด้วยเหตุผลต่างๆ ที่ได้กล่าวมานี้เอง การศึกษาการใช้วัสดุนานาชนิดที่มีโครงสร้างผลึกต่างกันเพื่อเป็นตัวเร่งปฏิกิริยาที่เป็นเบส จะได้เพิ่มองค์ความรู้พื้นฐานเกี่ยวกับโครงสร้าง/คุณสมบัติ (structure-property relationship) ว่าความแรงของเบสและขนาดของเบสจะเปลี่ยนแปลงไปอย่างไรเมื่อโครงสร้างเปลี่ยนไป (แต่ยังคงลักษณะเดิม)

บทที่ 3
วิธีดำเนินงานวิจัย

3.1 สารเคมี

สารเคมีที่ใช้แสดงในตารางที่ 3.1

ตารางที่ 3.1 สารเคมีที่ใช้ในการทดลอง

สารเคมี	ความบริสุทธิ์	ผู้ผลิต
Acetone	≥ 99.80 %	CARLO ERBA
Acetic acid	99.70 %	J.T. Baker
Heptanoic acid	99.50 %	ALDRICH
p-Xylene	≥ 99.00 %	CARLO ERBA
P25 titanium dioxide	≥ 99.50 %	Aerosil
Anatase titanium dioxide	≥ 99.80 %	CARLO ERBA
Potassium nitrate	≥ 99.50 %	CARLO ERBA
Sodium carbonate anhydrous	≥ 99.70 %	CARLO ERBA
Lithium nitrate	≥ 98.00 %	Labochemie
Cobalt(II) nitrate hexahydrate	≥ 99.80 %	Rankem
Sodium metatitanate $\text{Na}_2\text{Ti}_3\text{O}_7$	99.00 %	ALDRICH
Carbon dioxide gas	99.99 %	PRAXAIR
Air zero gas	99.99 %	PRAXAIR
Nitrogen gas	99.99 %	PRAXAIR
Hydrogen gas	99.99 %	PRAXAIR
Hydrogen in Argon gas	10 %	PRAXAIR
Helium gas	99.99 %	PRAXAIR

3.2 อุปกรณ์ที่ใช้

1. อลูมินาครูซิเบล
2. อาร์เกตมอร์ทาร์
3. เม็ดแก้ว (glass bead)
4. ไยแก้ว (Glass wool)
5. หลอดแก้ว (Glass tube)
6. ไซริงค์แก้วของ SGE Analytical Science
7. เข็ม GC ของ SGE Analytical Science

8. ปีเปตขนาดต่างๆ
9. ตู้อบลมร้อน UM500, Memmert
10. Mass flow controller, GFC-1105, Dwyer
11. Mass flow controller, GFC17, AALBORG
12. เตาเผา Controller P 320, Nabertherm
13. ไยคาวอทซ์ (Quartz wool)
14. หลอดคาวอทซ์ (Quartz tube)
15. ปั๊มสำหรับไชริงค์ KDS-100, KD-scientific
16. เตาเผาแบบท่อ VCTF4, Vecstar
17. เครื่อง Powder X-ray diffractometer, a DMAX2200 Ultima+, Rigaku
18. เครื่องวัดพื้นที่ผิวและขนาดครูพรุน Autosorb-1, Quantachrome
19. เครื่อง Thermogravimetric analyzer, Pyris, Perkin Elmer
20. เครื่อง Scanning electron microscope, EVO®MA10, ZEISS
21. เครื่อง X-ray photoelectron spectrophotometer, AXIS ULTRA, KRATOS

ANALYTICAL

22. เครื่อง Wavelength dispersive X-ray fluorescence spectrophotometer, Bruker, Tiger
23. เครื่อง Raman spectrophotometer, DXR Smart Raman, Thermoscientific
24. เครื่อง Thermal conductivity detector, TCD2-c, Valco Instrument
25. เครื่อง Gas chromatography, Varian 3800
26. เครื่อง Gas chromatography, Hewlett Packard 6890

3.3 การเตรียมและการพิสูจน์ลักษณะวัสดุนาโนในไทยาเนท

3.3.1 การสังเคราะห์นาโนในไทยาเนท

สารเคมีที่เป็นโลหะคาร์บอนेटและโลหะในเตรตจะต้องทำให้แห้งโดยการอบที่ 120°C ได้ค้างคืนก่อนใช้ สารเคมีอื่นสามารถใช้ได้เลย สังเคราะห์สารประกอบต่อไปนี้คือ $\text{K}_{0.8}\text{Zn}_{0.4}\text{Ti}_{1.6}\text{O}_4$, $\text{Na}_2\text{Ti}_6\text{O}_{13}$, $\text{K}_2\text{Ti}_6\text{O}_{13}$ และ $\text{K}_2\text{Ti}_4\text{O}_9$ ด้วยวิธี solid state synthesis จากของผสมของ $\text{K}_2\text{CO}_3 + \text{ZnO} + \text{TiO}_2$ ($\text{K}_{0.8}\text{Zn}_{0.4}\text{Ti}_{1.6}\text{O}_4$)¹², $\text{Na}_2\text{CO}_3 + \text{TiO}_2$ ($\text{Na}_2\text{Ti}_6\text{O}_{13}$)¹⁶, $\text{KNO}_3 + \text{P}25 \text{ TiO}_2$ ($\text{K}_2\text{Ti}_6\text{O}_{13}$)¹⁹ และ $\text{K}_2\text{CO}_3 + \text{TiO}_2$ ($\text{K}_2\text{Ti}_4\text{O}_9$)¹⁸ และสังเคราะห์ $\text{Li}_2\text{Ti}_6\text{O}_{13}$ ผ่านการทำ solid state ion exchange กับ LiNO_3 (100% excess)²⁰ ในไทยาเนท $\text{Na}_2\text{Ti}_3\text{O}_7$ เป็นผลิตภัณฑ์ของบริษัท Aldrich วัสดุนาโนในไทยาเนทที่สังเคราะห์ได้ทุกตัว ถูกเก็บไว้ในเดซิเคเตอร์

สังเคราะห์เท่านหน้าโนนิวบ์ด้วยวิธี hydrothermal ตามที่มีผู้รายงานไว้¹⁵ โดยเริ่มต้นจากอะนาไฮส TiO_2 และสารละลายน้ำ NaOH เข้มข้น, ล้างด้วยน้ำปราศจากไอออนจนค่า pH เท่ากับน้ำ, แล้วเผาแคลไนในอากาศที่ $350^{\circ}C$ 2 h

3.3.2 การพิสูจน์ลักษณะวัสดุนาโนในเท่าน

พิสูจน์โครงสร้างของวัสดุนาโนในเท่านด้วยเทคนิค X-ray powder diffraction (PXRD) เครื่องที่ใช้คือ DMAX2200 Ultima+ (Rigaku) ($CuK\alpha$) ในช่วงมุม $2\theta = 5-100^{\circ}$ และใช้ scan step $5^{\circ} \text{ min}^{-1}$

ทำการวัดพื้นที่ผิวของตัวเร่งปฏิกิริยาด้วยเครื่อง Autosorb-1 (Quantachrome) โดยใช้ตัวอย่างประมาณ 0.1 g และทำการ degas ที่ $300^{\circ}C$ เป็นเวลา 12 ชั่วโมงก่อนการวิเคราะห์ ซึ่งให้กําชในโตรเจนไปเกิดการดูดซับบนพื้นผิวที่ $-60^{\circ}C$ และที่ความดัน 1 torr

สังเกตสัมฐานของตัวอย่างหลังการเคลือบทองด้วยเทคนิค ion-sputtering โดยเครื่อง electron microscope (SEM, ZEISS)

3.3.3 การศึกษา basic sites

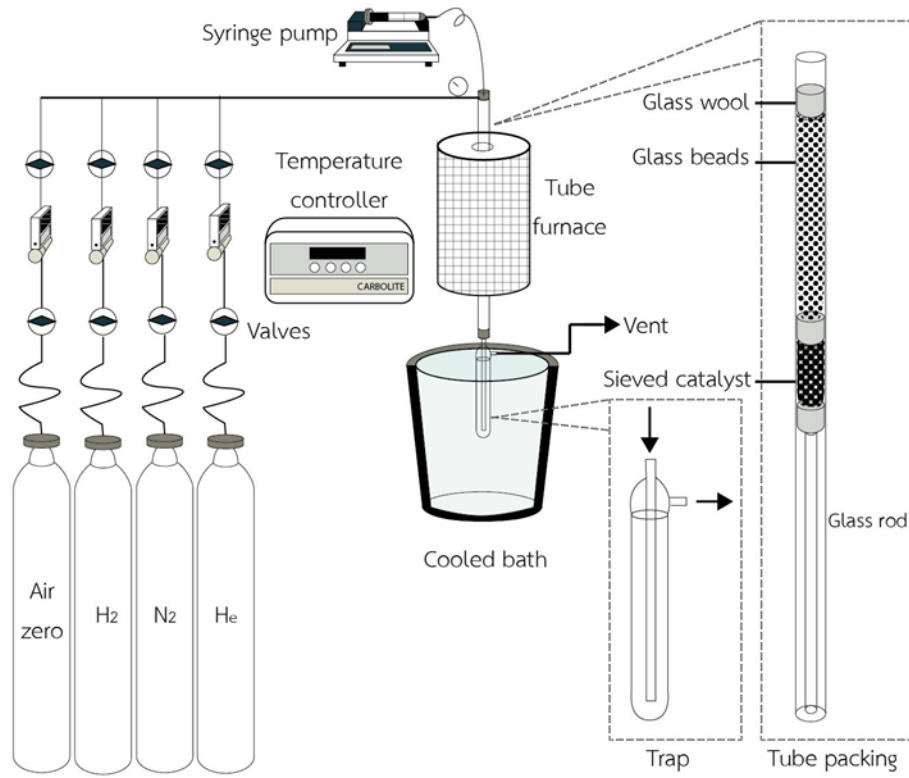
ศึกษาความเป็นเบสของวัสดุนาโนในเทานโดยเทคนิค CO_2 temperature-programmed desorption (CO_2 TPD) ทำการแอคติเวทสารตัวอย่างประมาณ 0.2 g ภายใต้อากาศ (30 mL min^{-1}) จากอุณหภูมิห้องไปที่ $500^{\circ}C$ โดยใช้อัตราการให้ความร้อนเป็น $10^{\circ}C \text{ min}^{-1}$ และปล่อยໄว้ที่อุณหภูมิ $500^{\circ}C$ อีก 2 ชั่วโมง ปล่อยให้เย็นลงถึงอุณหภูมิห้องภายใต้บรรยากาศของกําชในโตรเจน (30 mL min^{-1}) แล้วให้ตัวอย่างเกิดการดูดซับกําช CO_2 ที่อุณหภูมิห้องเป็นเวลา 60 นาที ไล่ CO_2 ที่จับกับพื้นผิวอย่างอ่อนอุกตัวด้วยกําชอีเลิมที่อัตราเร็ว 30 mL/h จากนั้นให้ความร้อนแก้วสุดที่ตั้งแต่อุณหภูมิ $30^{\circ}C$ ไปถึง $600^{\circ}C$ ($5^{\circ}C \text{ min}^{-1}$) แล้วตรวจจับการหลุดของ CO_2 จากพื้นผิวด้วย TCD และคำนวณความเป็นเบสเป็น $\mu\text{mol CO}_2/\text{g}$ หรือ $\mu\text{mol CO}_2/\text{m}^2$

3.4 การศึกษาความสามารถในการเร่งปฏิกิริยา

ทำการเร่งปฏิกิริยาระบบ fixed-bed flow reactor ที่ความดันบรรยายกาศ โดยใช้ 90% vol/vol กรดอะซิติกใน *p*-xylene ผ่านเข้าไปในรีแอคเตอร์ด้วยใช้ชีริงขนาด 10 mL ที่ต่อกับชีริงจี้ปั๊ม (KD Scientific) ใช้ contact time (W/F) เท่ากับ 15 $\text{g}\cdot\text{h mol}^{-1}$ ก่อนทำการทดสอบนั้น ตัวเร่งปฏิกิริยาจะได้รับการแอคติเวทจากอุณหภูมิห้องขึ้นไปที่ $500^{\circ}C$ (อัตราการให้ความร้อน $10^{\circ}C \text{ min}^{-1}$) และอยู่ที่ $500^{\circ}C$ เป็นเวลา 2 ชั่วโมงภายใต้อากาศ (flow rate 40 mL min^{-1}) และวิจัยผ่านกรดอะซิติกข้างต้นที่ผ่านด้วยกําช N_2 เข้าไป ทำการเก็บผลิตภัณฑ์ของเหลวโดยใช้ water-ice trap ($10-15^{\circ}C$) ทุก 60 นาที เรียกว่าบันครับ 360 นาที วิเคราะห์ตัวอย่างของเหลวด้วยเครื่อง gas chromatograph (Varian 3800) ที่ต่อกับ DB-wax column (30mx0.53 mm) และ flame ionization detector (FID)

ทำปฏิกิริยาการขัดหมู่ออกซิเจนออกจาก heptanoic acid ได้คล้ายกัน โดยใช้ 10%vol/vol ใน *p*-xylene และใช้ W/F เท่ากับ $250 \text{ g}\cdot\text{h mol}^{-1}$

รูปที่ 3.1 แสดงระบบการทดสอบตัวเร่งปฏิกิริยาที่ใช้ในโครงการนี้



รูปที่ 3.1 ระบบการทดสอบความสามารถของวัสดุนาโนเท่านั้นในการเร่งปฏิกิริยาของกรด
อะซีติกและกรด酢ตะโนอิก

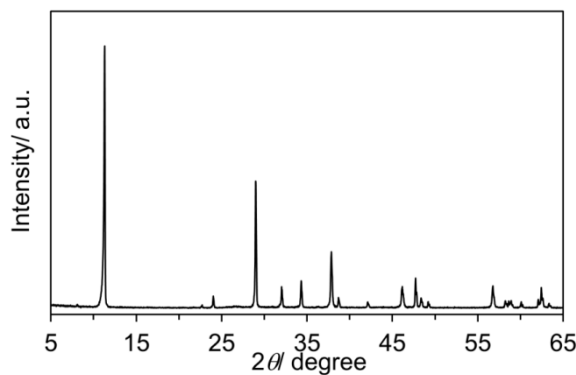
บทที่ 4

ผลการวิจัย

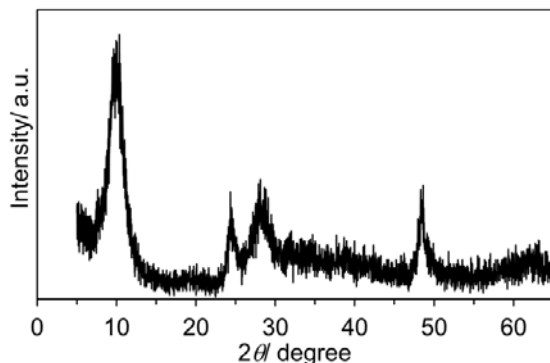
4.1 การสังเคราะห์วัสดุ nano เท่านานห

4.1.1 โครงสร้างของวัสดุ nano

ตัวเร่งปฏิกิริยาที่สังเคราะห์ได้ทั้งหมดเป็นผงสีขาว ภาพที่ 4.1 แสดง PXRD pattern ของเลพิโดโครไซท์ $K_{0.8}Zn_{0.4}Ti_{1.6}O_4$ พบว่าสารที่สังเคราะห์ได้มีความบริสุทธิ์ ไม่มีสารแปรกลบлом และมีโครงสร้างแบบเลพิโดโครไซท์ตรงตามเอกสารอ้างอิง¹² นอกจากนี้ สามารถสังเคราะห์ nano เท่านานหในทิวบ์และได้ PXRD (รูปที่ 4.2) สอดคล้องกับที่มีผู้รายงานไว้^{15, 21} สามารถพิจารณาได้ว่านาโนทิวบ์เกิดจากการม้วนตัวกันของแผ่นที่ประกอบเป็นโครงสร้างเลพิโดโครไซท์ นั่นคือ แผ่นที่เคยประกอบเป็นผลึกนั้นได้แยกออกจากกัน เป็นแผ่นเดียวที่มีเส้นผ่าศูนย์กลางในระดับนาโนเมตร แล้วม้วนตัวเข้าด้วยกันเกิดเป็นนาโนทิวบ์

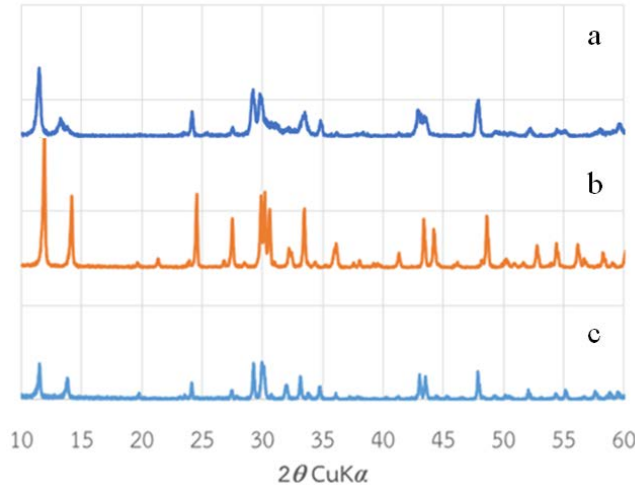


รูปที่ 4.1 PXRD ของเลพิโดโครไซท์ $K_{0.8}Zn_{0.4}Ti_{1.6}O_4$



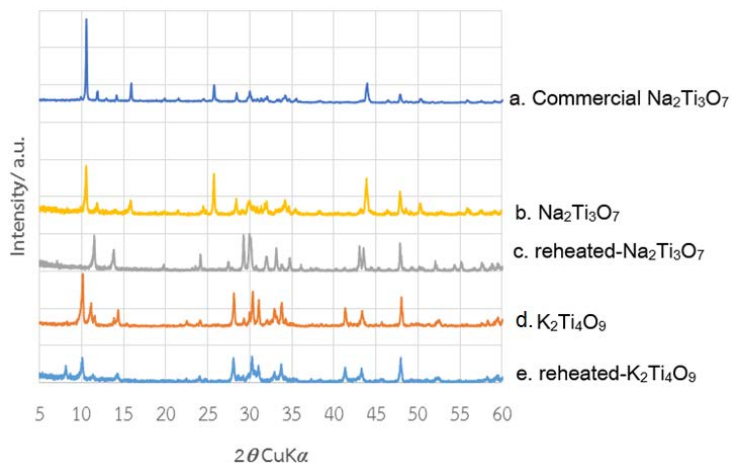
รูปที่ 4.2 PXRD ของ nano เท่านานหในทิวบ์

รูปที่ 4.3 แสดง PXRD ของวัสดุ nano alkali hexatitanate ผลทั้งหมดสอดคล้องกับเอกสารอ้างอิง



รูปที่ 4.3 PXRD ของ a) $\text{K}_2\text{Ti}_6\text{O}_{13}$, b) $\text{Na}_2\text{Ti}_6\text{O}_{13}$ และ c) $\text{Li}_2\text{Ti}_6\text{O}_{13}$

PXRD ของ $\text{Na}_2\text{Ti}_3\text{O}_7$ และ $\text{K}_2\text{Ti}_4\text{O}_9$ (รูปที่ 4.4b และ 4.4d) สอดคล้องกับเอกสารอ้างอิง^{17, 18} พบรีดีฟ์ของสารเจือปนคือ alkali hexatitanate ของโลหะอัลคาไลน์ๆ ทดลองเผาตัวเร่งปฏิกิริยาที่ได้ช้าที่ 800°C 10 ชั่วโมงเพื่อทดสอบว่าจะได้สารที่มีความบริสุทธิ์หรือไม่ ผลการทดลองในรูปที่ 4.4c และ 4.4e แสดงว่าไม่สามารถกำจัดพีดีฟ์ที่เป็นของเฟสแปรกลบломได้ อย่างไรก็ตาม พบรีดีฟ์เปลกปลอมในปริมาณน้อยในตัวอย่าง commercial $\text{Na}_2\text{Ti}_3\text{O}_7$ เช่นกัน (รูปที่ 4.4a)



รูปที่ 4.4 PXRD ของ a) Commercial $\text{Na}_2\text{Ti}_3\text{O}_7$, b) $\text{Na}_2\text{Ti}_3\text{O}_7$, c) reheated- $\text{Na}_2\text{Ti}_3\text{O}_7$, d) $\text{K}_2\text{Ti}_4\text{O}_9$ และ e) reheated- $\text{K}_2\text{Ti}_4\text{O}_9$

ตารางที่ 4.1 แสดงค่าพารามิเตอร์หน่วยเซลล์ของตัวเร่งปฏิกิริยาไฟฟ้าเนทที่สังเคราะห์ในงานนี้ อย่างไรก็ตาม เนื่องจากไฟฟ้าเนทนาโนทิวบ์มีขนาดเล็กและโครงสร้างไม่ได้เรียงกันอย่างเป็นระเบียบเป็นช่วงยาว จึงไม่ได้คำนวณพารามิเตอร์ของหน่วยเซลล์นี้

ตารางที่ 4.1 พารามิเตอร์หน่วยเซลล์ของวัสดุ nanoไฟฟ้าเนทที่สังเคราะห์ในโครงการนี้*

Sample	<i>a</i> (nm)	<i>b</i> (nm)	<i>c</i> (nm)	β ($^{\circ}$)
$K_{0.8}Zn_{0.4}Ti_{1.6}O_4$	0.3812(4)	1.570(9)	0.2987(3)	NA
$Na_2Ti_6O_{13}$	1.511(3)	0.3744(4)	0.9138(4)	99.109
$K_2Ti_6O_{13}$	1.54(2)	0.378(3)	0.920(3)	99.894
$Li_2Ti_6O_{13}$	1.562(3)	0.379(3)	0.910(3)	99.893
Commercial $Na_2Ti_3O_7$	0.858(3)	0.3805(4)	0.912(3)	101.339
$Na_2Ti_3O_7$	0.8563(4)	0.3803(4)	0.9107(4)	101.285
$K_2Ti_4O_9$	1.274(3)	0.3820(4)	0.889(3)	104.023

$K_{0.8}Zn_{0.4}Ti_{1.6}O_4$ เป็นแบบ orthorhombic วัสดุที่เหลือเป็น monoclinic

4.1.2 พื้นที่ผิวและสัณฐาน

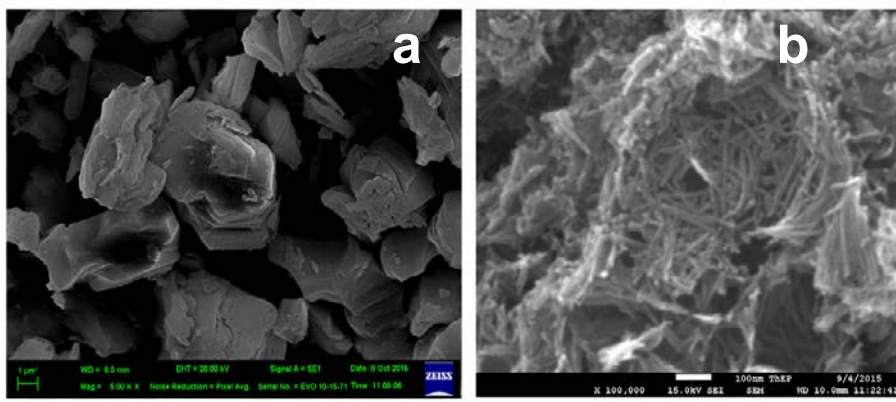
พื้นที่ผิวของวัสดุ nanoไฟฟ้าเนทที่สังเคราะห์ขึ้นแสดงในตารางที่ 4.2

ตารางที่ 4.2 พื้นที่ผิวของวัสดุ nanoไฟฟ้าเนท

Samples	S_{BET} (m^2/g)
$K_{0.8}Zn_{0.4}Ti_{1.6}O_4$	3
Titanate nanotubes	320
Anatase TiO_2	6
$Na_2Ti_6O_{13}$	9
$K_2Ti_6O_{13}$	21
$Li_2Ti_6O_{13}$	16
$Na_2Ti_3O_7$	5
Commercial $Na_2Ti_3O_7$	3
$K_2Ti_4O_9$	6

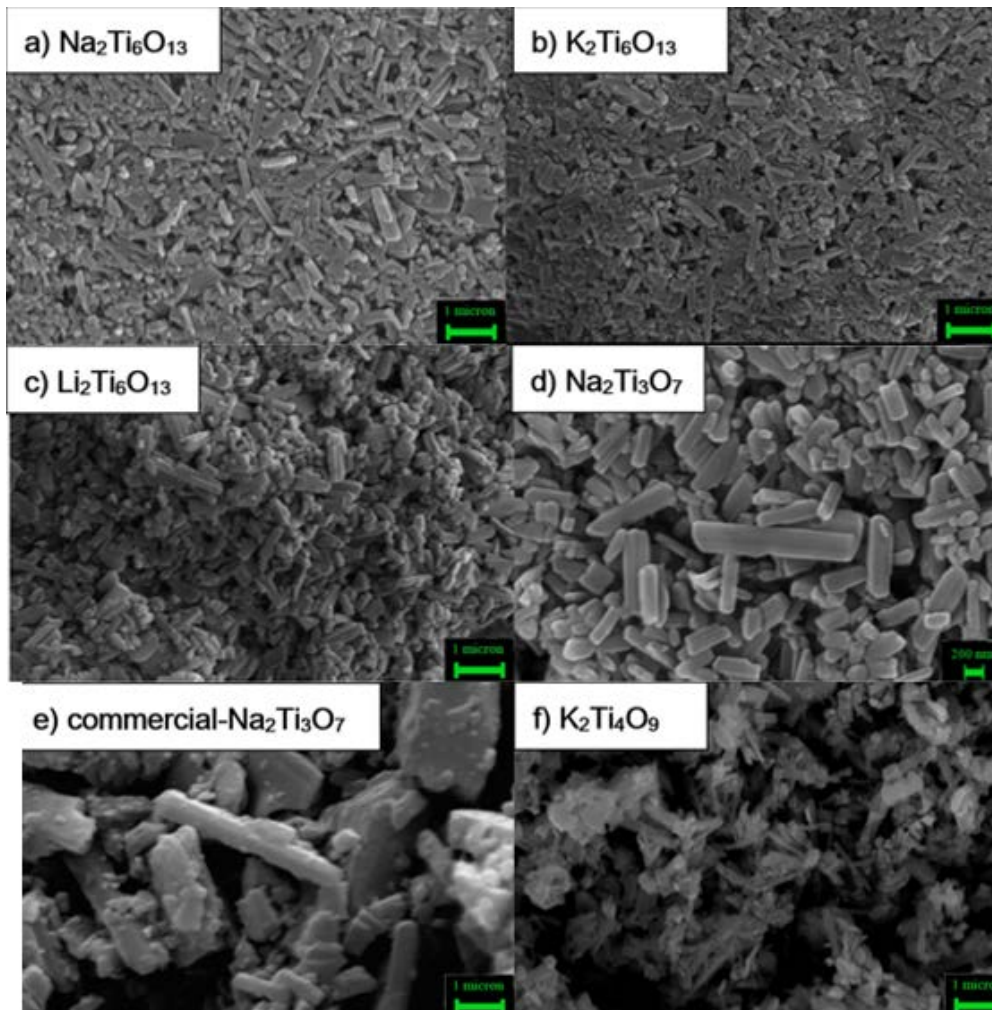
พื้นที่ผิวของวัสดุให้ทานส่วนใหญ่อยู่ในช่วง $3\text{-}21 \text{ m}^2/\text{g}$ ค่าเหล่านี้ค่อนข้างต่ำและบ่งชี้ว่า เฉพาะพื้นที่ผิวภายนอก (external surface area) เท่านั้นที่เกิดการดูดซับก๊าซในโตรเจน พื้นที่ผิวของ $\text{K}_2\text{Ti}_6\text{O}_{13}$ ซึ่งมีมากกว่าของ $\text{Na}_2\text{Ti}_6\text{O}_{13}$ และ $\text{Li}_2\text{Ti}_6\text{O}_{13}$ สอดคล้องกับผลการวิเคราะห์ด้วยเทคนิค PXRD ซึ่งแสดงว่า $\text{K}_2\text{Ti}_6\text{O}_{13}$ มีความเป็นผลึกต่ำกว่า ให้ทานโนโนทิวบ์มีพื้นที่ผิวสูงถึง $320 \text{ m}^2/\text{g}$ ตรงตามที่ได้สันนิษฐานไว้

รูปที่ 4.5a แสดง SEM image ของเลพิดโคโรไซด์ $\text{K}_{0.8}\text{Zn}_{0.4}\text{Ti}_{1.6}\text{O}_4$ ว่ามีลักษณะเป็นแผ่นที่มีขนาดกว้าง×ยาวประมาณ $1 \mu\text{m}^2$ แผ่นดังกล่าวประกอบด้วยหน่วยย่อยคือ nano-size ที่ซ้อนกันเป็นชั้นๆ และมีแคบทื่อของ K^+ อยู่ระหว่างแผ่น รูปที่ 4.5b แสดง SEM image ของให้ทานโนโนทิวบ์ สังเกตพบหลอดเล็กๆ ที่มีเส้นผ่าศูนย์กลางในระดับไมโครเมตรจริง



รูปที่ 4.5 SEM image ของ a) $\text{K}_{0.8}\text{Zn}_{0.4}\text{Ti}_{1.6}\text{O}_4$ และ b) ให้ทานโนโนทิวบ์

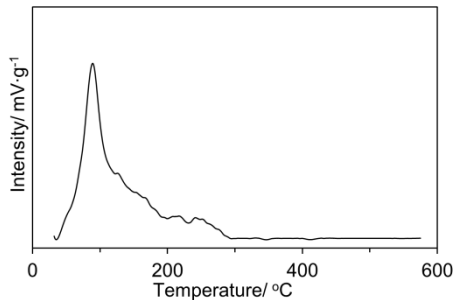
อัลคาไลไฟฟานาโนเมตรลิงหลักพันตันๆ เช่น 180 nm ($\text{Li}_2\text{Ti}_6\text{O}_{13}$), 200-1,500 nm ($\text{Na}_2\text{Ti}_6\text{O}_{13}$), 200 nm ($\text{K}_2\text{Ti}_6\text{O}_{13}$), 500-3,500 nm ($\text{Na}_2\text{Ti}_3\text{O}_7$) และ 500-3,500 nm ($\text{K}_2\text{Ti}_4\text{O}_9$) อย่างไรก็ตาม commercial- $\text{Na}_2\text{Ti}_3\text{O}_7$ มีลักษณะเป็นของผอมที่ประกอบด้วยแผ่นและแท่งที่มีขนาด 700-1,700 nm และ 2,800 nm ตามลำดับ พบว่าผลึกเหล่านี้อยู่กันแน่นและผลึกไม่มีรูพรุน สอดคล้องกับผลการทดลองการดูดซับ/การคายก๊าซ N_2 ว่ามีพื้นที่ผิวต่ำ



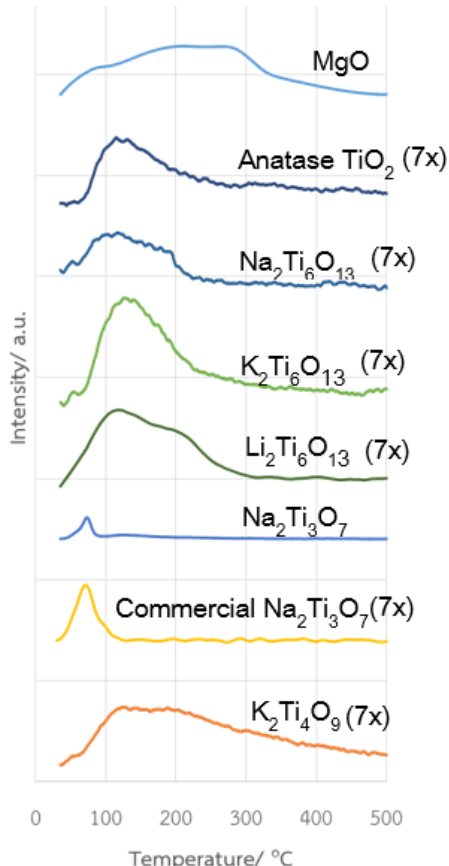
รูปที่ 4.6 SEM images ของ a) $\text{Na}_2\text{Ti}_6\text{O}_{13}$, b) $\text{K}_2\text{Ti}_6\text{O}_{13}$, c) $\text{Li}_2\text{Ti}_6\text{O}_{13}$, d) $\text{Na}_2\text{Ti}_3\text{O}_7$ e) commercial- $\text{Na}_2\text{Ti}_3\text{O}_7$, และ f) $\text{K}_2\text{Ti}_4\text{O}_9$ ขนาดของ scale bar คือ $1 \mu\text{m}$ ทุกภาพยกเว้นภาพ (d) ซึ่งเท่ากับ 200 nm

4.1.3 ความเป็นเบสของไฟฟ้าเนท

รูปที่ 4.7 แสดงผลการวิเคราะห์ความเป็นเบสของเลพิดโครไซท์ $K_{0.8}Zn_{0.4}Ti_{1.6}O_4$ และรูปที่ 4.8 แสดงผลการวิเคราะห์ความเป็นเบสของวัสดุนานาในไฟฟ้าเนทอื่นๆ โดยแสดงความแรงของเบส (อุณหภูมิตามแกน X) และปริมาณ (พื้นที่ใต้กราฟ) เปรียบเทียบกับ MgO ซึ่งเป็นออกไซด์ที่มีคุณสมบัติเป็นเบส พบว่าไฟฟ้าเนททุกชนิดเป็นเบสที่อ่อนกว่า MgO และมีปริมาณเบสน้อยกว่า MgO ด้วย อุณหภูมิการหลุดออกของ CO_2 ที่ต่ำแสดงว่ากําช CO₂ เกิดการดูดซับบนพื้นผิวของไฟฟ้าเนทแบบ physisorption เท่านั้น



รูปที่ 4.7 ความเป็นเบสของเลพิดโครไซท์ $K_{0.8}Zn_{0.4}Ti_{1.6}O_4$



รูปที่ 4.8 ความเป็นเบสของวัสดุไฟฟ้าเนทชนิดอื่นๆ

ตารางที่ 4.3 แสดงความเป็นเบส (basicity) ของวัสดุนานาไฟฟ้าเนท ทั้งที่เทียบโดยน้ำหนัก และโดยพื้นที่ผิว MgO เป็นเบสมาก ($2,790 \text{ }\mu\text{mol/g}$) เมื่อเปรียบเทียบกับทุกตัวอย่างพบว่าลำดับของความเป็นเบสเป็นดังนี้คือ $\text{MgO} > \text{Na}_2\text{Ti}_3\text{O}_7 > \text{K}_2\text{Ti}_4\text{O}_9 > \text{K}_2\text{Ti}_6\text{O}_{13} > \text{Anatase TiO}_2 > \text{commercial Na}_2\text{Ti}_3\text{O}_7 > \text{Na}_2\text{Ti}_6\text{O}_{13} = \text{K}_{0.8}\text{Zn}_{0.4}\text{Ti}_{1.6}\text{O}_4 > \text{Li}_2\text{Ti}_6\text{O}_{13}$ อาจแบ่งวัสดุออกเป็นสามกลุ่มได้ตามช่วงของค่า basicity กลุ่มแรกมีเฉพาะ MgO ซึ่งเป็นสารที่มีความเป็นเบสมากที่สุดเนื่องจาก MgO เกิดการเปลี่ยนแปลงเป็น MgCO_3 ซึ่งสามารถดูด CO₂ ออกมากขณะทำการวัด กลุ่มที่สองคือ $\text{Na}_2\text{Ti}_3\text{O}_7$ และ $\text{K}_2\text{Ti}_4\text{O}_9$ ซึ่งมีความเป็นเบสอยู่ประมาณ $200 \text{ }\mu\text{mol/g}$ ค่อนข้างกว่า MgO อยู่ประมาณ 10 เท่า และกลุ่มสุดท้ายคือวัสดุไฟฟ้าเนทที่เหลือที่มีความเป็นเบสน้อยๆ และเมื่อเปรียบเทียบไฟฟ้าเนทที่มีโครงสร้างเดียวกันแต่มีแคทไอดิโอลอนต่างชนิดกันที่มีโครงสร้างแบบอุโมงค์คือ $\text{A}_2\text{Ti}_6\text{O}_{13}$ พบว่าลำดับของความเป็นเบสคือ $\text{Li}^+ < \text{Na}^+ < \text{K}^+$ และวัสดุที่มีโครงสร้างเป็นชั้นมีความเป็นเบสมากกว่าวัสดุที่มีโครงสร้างเป็นอุโมงค์ อย่างไรก็ตาม ผลความเป็นเบสของไฟฟ้าเนทนาโนทิวบ์ (ไม่ได้แสดง) เท่ากับ $58 \text{ }\mu\text{mol/g}$ และ $1.0 \text{ }\mu\text{mol/m}^2$ แสดงว่าความเป็นเบสไม่ได้ดีขึ้นเมื่อเปลี่ยนจากผลึกไปเป็นโครงสร้างนาโนอื่น อาจสรุปได้ว่าโครงสร้างผลึกมีอิทธิพลมากกว่าโครงสร้างนาโน

ตารางที่ 4.3 ความเป็นเบสของตัวเร่งปฏิกิริยาที่ศึกษาในโครงการนี้

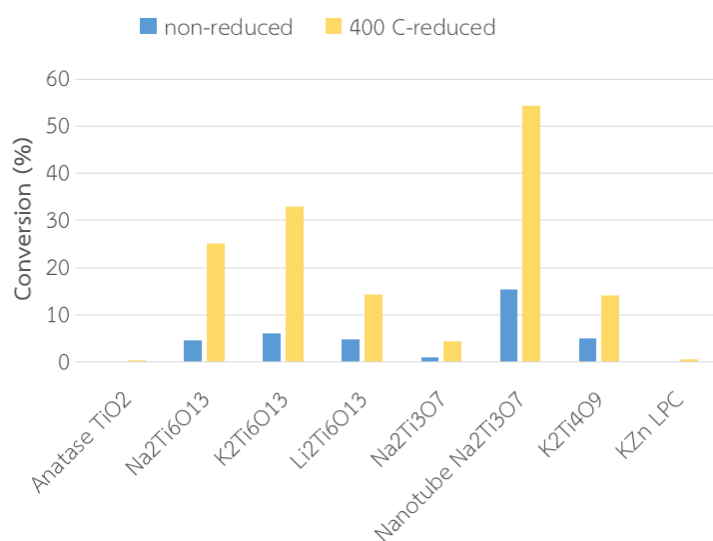
Catalysts	T_{onset} (°C)	T_{maximum} (°C)	T_{offset} (°C)	Basicity	
				$\mu\text{mol/g}$	$\mu\text{mol/m}^2$
MgO	30	276	834	2,790	-
Anatase TiO ₂	54.3	120	476	68	2.3
$\text{K}_{0.8}\text{Zn}_{0.4}\text{Ti}_{1.6}\text{O}_4$	30	85	300	39	13.0
$\text{K}_2\text{Ti}_6\text{O}_{13}$	30	128	232	96	0.9
$\text{Na}_2\text{Ti}_6\text{O}_{13}$	30	105	235	39	0.9
$\text{Li}_2\text{Ti}_6\text{O}_{13}$	30	105	309	30	2.8
Commercial $\text{Na}_2\text{Ti}_3\text{O}_7$	30	94	118	45	3.0
$\text{Na}_2\text{Ti}_3\text{O}_7$	30	77	91	241	9.7
$\text{K}_2\text{Ti}_4\text{O}_9$	30	124	580	221	7.4

4.2 การเร่งปฏิกิริยา

ได้ทำการทดสอบความสามารถของไทยในเรื่องปฏิกริยาดังนี้ คือ (1) ทำปฏิกริยาการจัดออกซ์เจนโดยใช้กรดอะซีติกเป็นโมเดล, และ (2) ทดสอบการจัดออกของกรดไฮปะโนอิกซิงเป็นกรดสายียารวัชน์

4.2.1 การจัดอุปกรณ์ในกรอบอัตลักษณ์

รูปที่ 4.9 แสดงการขัดดอกซิเจนออกจากการลดอัลตราซิวิติกซึ่งเร่งด้วยวัสดุนาโนใหญ่นาทต่างๆ ภายในตัวก้าชในไตรเจนที่อุณหภูมิ 400°C จะพิจารณากรณีที่ไม่ได้ทำการรีดิวซ์ตัวเร่งปฏิกิริยา ก่อน



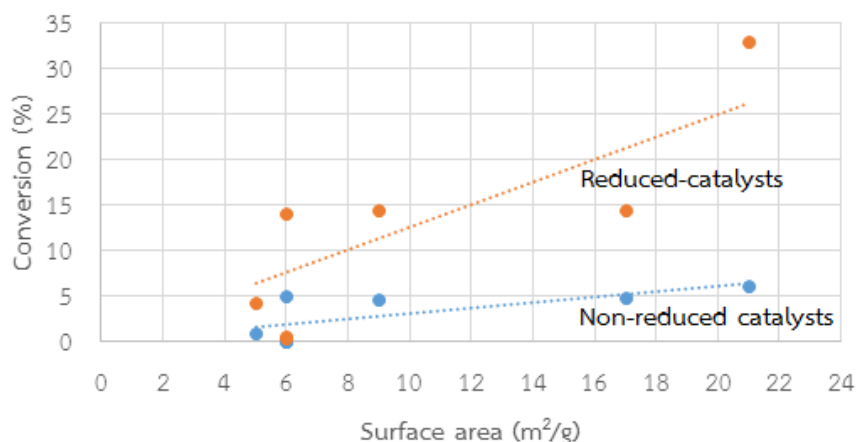
รูปที่ 4.9 การขัดดอกซีเจนจากการลดอุณหภูมิที่ 400°C ภายใต้กําลังไอน์โตรเจน, W/F = 15 g/h/mol, และผลการสภาวะการทดสอบคือ: อุณหภูมิที่ทดสอบ 400°C, ภายใต้กําลังไอน์โตรเจน, W/F = 15 g/h/mol, และผลการทดลองเป็นค่าเฉลี่ยจากระยะเวลาที่ทำปฏิกิริยา 60-360 นาที

การเปลี่ยน (conversion) ของกรดอะซีติกเริ่มคงที่ตั้งแต่เวลาที่ทำปฏิกิริยาเท่ากับ 60 นาที เป็นต้นไป และสังเกตไม่พบการเสื่อมสภาพของตัวเร่งปฏิกิริยา ในทุกรณัณณะซีโตนเป็นผลิตภัณฑ์ชนิดเดียวที่ตรวจพบ อธิบายได้ว่าอะซีโตนเกิดจากการจัดออกซิเจนออกผ่านทางการควบแน่นของกรดอะซีติก การเปลี่ยนของกรดอะซีติกเริ่มลำดับได้ดังนี้คือ Titanate nanotube (15.4%) > $K_2Ti_6O_{13}$ (6.1%) > $Li_2Ti_6O_{13}$ (5.1%) > $K_2Ti_4O_9$ (4.9%) > $Na_2Ti_6O_{13}$ (4.5%) > $Na_2Ti_3O_7$ (0.9%) > Anatase = $K_{0.8}Zn_{0.4}Ti_{1.6}O_4$ (0%) ผลการทดลองนี้แสดงให้เห็นว่าวัสดุใหม่ทำหน่ง่วงไว้มีความเป็นเบส ที่สามารถเร่งการเปลี่ยนกรดอะซีติกไปเป็นอะซีโตนได้แม่ค่าการเปลี่ยนของกรดอะซีติกจะมีค่าต่ำกว่าตามค่าการเปลี่ยนนี้ไม่มีความสัมพันธ์กับค่า basicity สาเหตุหนึ่งคือไม่เลกูลของกรดอะซีติกมีขนาดใหญ่กว่าไม่เลกูลของ CO_2 ดังนั้นทำหน่งที่เกิดการดูดซับ CO_2 บางส่วน โดยเฉพาะที่ด้านในของผลึก อาจไม่เกิดการดูดซับไม่เลกูลของกรดอะซีติกซึ่งมีขนาดใหญ่กว่า

ที่สำคัญคืออ่อนเหลวและเลพีโดโครไชท์ $K_{0.8}Zn_{0.4}Ti_{1.6}O_4$ ไม่สามารถเร่งการเกิดปฏิกิริยานี้ได้ในขณะที่เทาเนนโนนิวบ์ให้ค่าการเปลี่ยนอะซีติกที่สูงมากเมื่อเทียบกับปริมาณความเป็นเบสที่มีค่าปานกลางผลการทดลองบ่งชี้ว่าห้องความเป็นเบสและโครงสร้างนาโนอาจเสริมกัน

เนื่องจากค่าการเปลี่ยนของกรดอะซีติกมีค่าต่ำ จึงได้ทำการรีดิวช์ตัวเร่งปฏิกิริยาที่ $400^{\circ}C$ เป็นเวลา 2 ชั่วโมง ก่อนการทำปฏิกิริยา รูปที่ 4.9 แสดงว่าการเปลี่ยนไปของกรดอะซีติกมีค่ามากขึ้นตามลำดับที่คล้ายกับที่ทำโดยไม่มีการรีดักชัน และเป็นไปดังนี้คือ Titanate nanotubes (54.3) > $K_2Ti_6O_{13}$ (33.0%) > $Na_2Ti_6O_{13}$ (25.1%) > $Li_2Ti_6O_{13}$ (14.3%) > $K_2Ti_4O_9$ (14.0%) > $Na_2Ti_3O_7$ (4.3%) > Anatase $TiO_2 = K_{0.8}Zn_{0.4}Ti_{1.6}O_4$ (0.51%) อย่างไรก็ตาม ผลการทดลองนี้แสดงให้เห็นว่า oxygen vacancy sites มีอิทธิพลต่อการเปลี่ยนของกรดอะซีติกมากกว่าความเป็นเบส

รูปที่ 4.10 แสดงค่าการเปลี่ยนของกรดอะซีติกเทียบกับพื้นที่ผิวของตัวเร่งปฏิกิริยา (ในหน่วย m^2/g) พบว่าค่าการเปลี่ยนแปรผันตรงกับพื้นที่ผิวของตัวเร่งปฏิกิริยา ไม่ว่าปฏิกิริยานั้นจะถูกเร่งด้วยตัวเร่งปฏิกิริยาที่ไม่ได้ถูกรีดิวช์ (คือ basic sites) หรือกับตัวเร่งปฏิกิริยาที่ถูกรีดิวช์แล้ว (คือ oxygen vacancy sites) อธิบายได้ว่าปฏิกิริยาระหว่างกรดอะซีติกที่เป็นก๊าซและวัสดุเทาเนนนั้นเป็นปฏิกิริยาที่มีสองเฟส และต้องเกิดผ่านการสัมผัสนกันของสารตั้งต้นและพื้นผิวของวัสดุเทาเนนน่อง

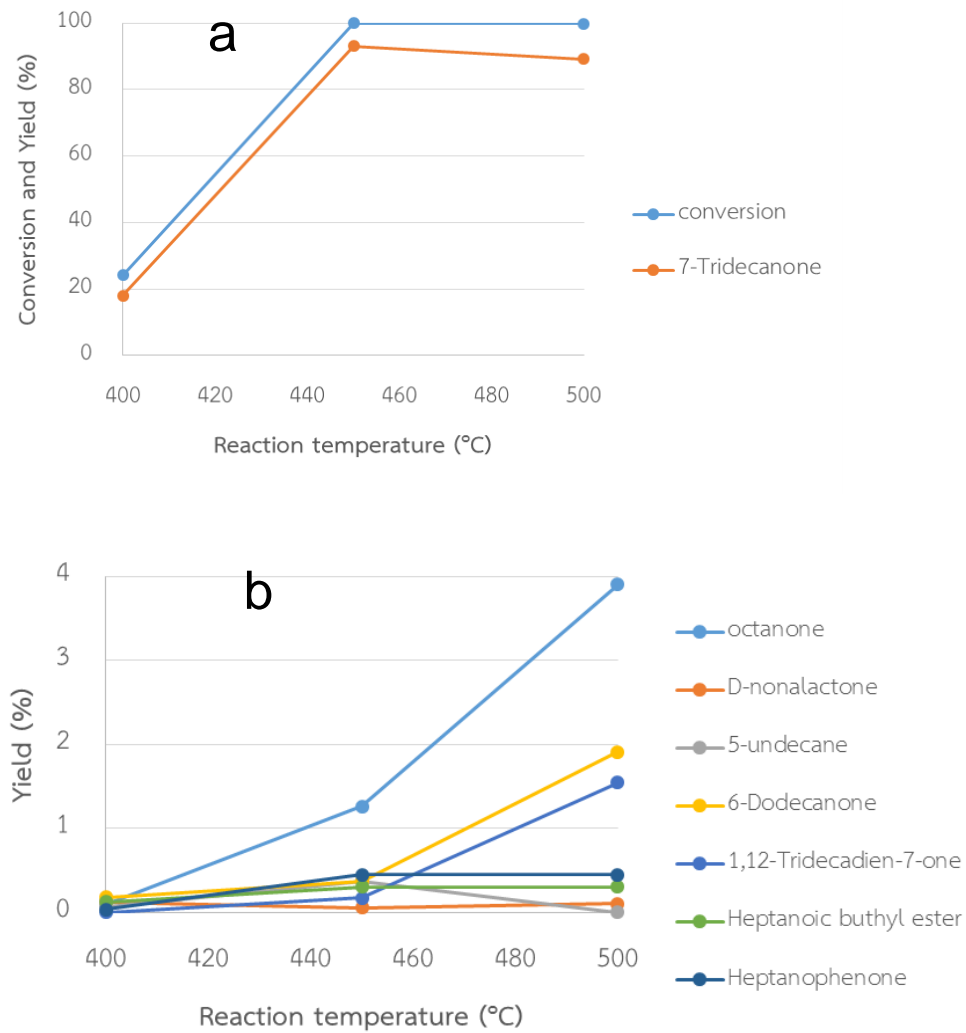


รูปที่ 4.10 การเปลี่ยนของกรดอะซีติกเทียบกับพื้นที่ผิวของวัสดุเทาเนนทั้งที่รีดิวช์และไม่ได้รีดิวช์
สภาพการทดลองคือ: อุณหภูมิที่ทดสอบ $400^{\circ}C$, ภายใต้ก๊าซไนโตรเจน, W/F = 15 gh/mol, และผลการทดลองเป็นค่าเฉลี่ยจากการระยะเวลาที่ทำปฏิกิริยา 60-360 นาที

4.2.2 การผลิตเข็มเพลิงดีเซลจากกรดເອປະໂນອົກ

ได้เลือกใช้ $K_2Ti_6O_{13}$ ซึ่งให้ค่าการเปลี่ยนของกรดอะซีติกมากที่สุดมาใช้เพื่อศึกษาการผลิตเข็มเพลิงดีเซลจากกรดເອປະໂນອົກ รูปที่ 4.11 แสดงอิทธิพลของอุณหภูมิที่ใช้ทำปฏิกิริยา ($400-500^{\circ}C$) ภายใต้บรรยากาศที่เป็น N_2 ที่ W/F = 250 gh/mol การทดลองนี้แบ่งไปที่อิทธิพลของ basic sites จึงไม่ได้

ทำการรีดิวช์ตัวเร่งปฏิกิริยา พบร่วมกับการเปลี่ยนของกรดไฮปะโนอิกเท่ากับ 24.2-100.0% และมี 7-tridecanone (ซึ่งเกิดจากปฏิกิริยา ketonization ของกรดไฮปะโนอิก) เป็นผลิตภัณฑ์หลัก



รูปที่ 4.11 (a) การเปลี่ยนของกรดไฮปะโนอิก และ (b) ร้อยละผลได้ (percentage yield) ของผลิตภัณฑ์ที่อุณหภูมิที่ทำปฏิกิริยาต่างๆ กันโดยใช้ $K_2Ti_6O_{13}$ ที่ไม่ได้รีดิวช์เป็นตัวเร่งปฏิกิริยา สภาพการทดลองคือ: ภาชนะในไตรเจน, $W/F = 250 \text{ g}/\text{mol}$, และผลการทดลองจากระยะเวลาที่ทำปฏิกิริยาเท่ากับ 60 นาที

พบว่าการเปลี่ยนของกรดເອປະໂນອิกเพิ่มขึ้นเมื่ออุณหภูมิที่ทำปฏิกิริยาเพิ่มขึ้น และพบ 7-tridecanone (ซึ่งเป็นคีโตนสมมาตรที่เกิดจาก ketonization ของกรดເອປະໂນອิก) เป็นผลิตภัณฑ์หลัก โดยปริมาณของ 7-tridecanone เพิ่มขึ้นด้วยเมื่ออุณหภูมิที่ทำปฏิกิริยาเพิ่มขึ้น ผลิตภัณฑ์อื่นๆ (ซึ่งมีน้อยกว่า 2%) เช่น 2-octanone, D-nonalactone, 5-undecane, 6-dodecanone, 1,12-tridecadien-7-one, heptanoic anhydride, heptanoic butylester, heptanophenone และ 1-(4-methylphenyl)-1-pentanone (รูปที่ 4.11b) อาจพิจารณาได้ว่าผลิตภัณฑ์เหล่านี้เกิดจากการ cracking ของ 7-tridecanone ไปเป็นผลิตภัณฑ์ที่มีขนาดเล็กลง ในบรรดาผลิตภัณฑ์เหล่านี้พบว่า 2-octanone เป็นผลิตภัณฑ์หลัก และเกิดจากการแตกออกของ 7-tridecanone ที่ตำแหน่ง α กลไกของปฏิกิริยานี้เกิดผ่านอินเตอร์มีเดียที่เป็นวงหนาเหลี่ยม และมีการเกิด γ -hydrogen abstraction ด้วย

บทที่ 5

สรุปผลการวิจัยและข้อเสนอแนะ

5.1 สรุปผลการวิจัย

งานวิจัยนี้ได้ศึกษาการใช้เลพีโดโครไรซ์ท่าเนทและวัสดุนาโนไทาเนทที่มีโครงสร้างอื่น เพื่อเป็นตัวเร่งปฏิกิริยาที่มีคุณสมบัติเป็นเบส และเร่งปฏิกิริยาเปลี่ยนกรดอะซีติก (และกรด酢ติกโนอิก) ไปเป็นคีโตน สามารถ การเกิดคีโตนดังกล่าวเกิดผ่านการกำจัดออกซิเจนอะตอมออกจากโมเลกุลของกรดที่เป็นสารตั้งต้น การกำจัดออกซิเจนอะตอมผ่านปฏิกิริยา ketonization นี้เป็นแนวทางหนึ่งที่มีการศึกษากันเพื่อผลิตเชื้อเพลิง ดีเซลจากชีมวล

วัสดุที่ศึกษาคือเลพีโดโครไรซ์ $K_{0.8}Zn_{0.4}Ti_{1.6}O_4$ ที่มีโครงสร้างเป็นชั้น ไทาเนทนาโนทิวบ์ที่เกิดจาก การม้วนกันของนาโนชีทที่ประกอบขึ้นเป็นเลพีโดโครไรซ์, $A_2Ti_6O_{13}$ ($A = Li, Na, K$) ที่มีโครงสร้างเป็น อูโมงค์, $Na_2Ti_3O_7$ และ $K_2Ti_4O_9$ (ซึ่งมีโครงสร้างเป็นชั้นหั้งสองชนิด) ได้พิสูจน์ลักษณะของวัสดุนาโน ไทาเนทโดยเทคนิคต่างๆคือ Power X-ray diffraction (PXRD), Scanning electron microscopy (SEM), N_2 adsorption/desorption และศึกษาความเป็นเบสด้วยเทคนิค CO_2 TPD พบร่วมกับไทาเนทที่ศึกษาส่วน ใหญ่เป็นเบสอ่อนซึ่งปล่อยก๊าซ CO_2 ออกในช่วง $50-300^\circ C$ อันใกล้เคียงกับอะนาเทส TiO_2 และลำดับของ ความเป็นเบส (basicity) เป็นดังนี้คือ $MgO > Na_2Ti_3O_7 > K_2Ti_4O_9 > K_2Ti_6O_{13} > Anatase TiO_2 > commercial Na_2Ti_3O_7 > Na_2Ti_6O_{13} = K_{0.8}Zn_{0.4}Ti_{1.6}O_4 > Li_2Ti_6O_{13}$ เมื่อเปรียบเทียบไทาเนทที่มี โครงสร้างเดียวกันแต่มีแคโทอ่อนต่างชนิดกัน ($A_2Ti_6O_{13}$) พบร่วมกับความเป็นเบสคือ $Li^+ < Na^+ < K^+$ และวัสดุที่มีโครงสร้างเป็นชั้นมีความเป็นเบสมากกว่าวัสดุที่มีโครงสร้างเป็นอูโมงค์ นอกจากนี้ ความเป็นเบส ไม่ได้เพิ่มขึ้นเมื่อเปลี่ยนจากผลึกไปเป็นโครงสร้างนาโนทิวบ์ อาจสรุปได้ว่าโครงสร้างผลึกมีอิทธิพลมากกว่า โครงสร้างนาโน

พบร่วมกับวัสดุนาโนไทาเนท (ที่ไม่ได้รีดิวช์) สามารถเร่งการเปลี่ยนกรดอะซีติกไปเป็นอะซีโตนได้ ภายใต้สภาวะ N_2 ในขณะที่อะนาเทส TiO_2 ไม่สามารถทำได้ ผลการทดลองนี้แสดงให้เห็นว่า basic sites สามารถเร่งปฏิกิริยาได้ตามที่ตั้งสมมติฐานไว้ (ข้อยกเว้นเดียวคือเลพีโดโครไรซ์ท่าเนท) นอกจากนี้พบว่า โครงสร้างนาโนทิวบ์ให้ค่าการเปลี่ยนของกรดอะซีติกมากกว่าที่คาดไว้มีอิทธิพลต่อความเป็นเบส นั่นคือ หั้งความเป็นเบสและโครงสร้างนาโน มีความสัมพันธ์ที่เสริมกันในการเปลี่ยนกรดอะซีติกไปเป็นอะซีโตน อย่างไรก็ตาม ตำแหน่งที่เป็นเบสมีความสามารถในการเร่งปฏิกิริยาน้อยกว่า oxygen vacancy sites ซึ่ง สามารถสร้างได้โดยการรีดิวช์ตัวเร่งปฏิกิริยา ก่อน

สามารถเปลี่ยนกรด酢ติกโนอิกเป็นคีโตโน คือ 7-tridecanone ได้เช่นกัน ผลการทดลองนี้แนะนำว่า วัสดุนาโนไทาเนทอาจเป็นทางเลือกใหม่ในการผลิตเชื้อเพลิงดีเซลจากการดิบไขมัน ซึ่งอาจได้มาโดยสะดวกจาก ชีมวล คีโตโนที่เกิดขึ้นบางส่วนจะเกิดการ cracking ไปเป็นผลิตภัณฑ์ที่มีขนาดเล็กลงทั้งทั้งสอง

5.2 ข้อเสนอแนะ

อาจสังเคราะห์วัสดุไทาเนทเหล่านี้ด้วยเทคนิคอื่น เพื่อให้ได้ขนาดอนุภาคเล็กลงอีกและมีพื้นที่ผิว มากขึ้น และควรทดสอบปฏิกิริยานี้กับวัสดุไทาเนทชนิดอื่น เช่น อัลคาไลน์เออร์สไทาเนท เป็นต้น

บทที่ 6
สรุปผลิตผลที่ได้จากการวิจัย

6.1 ผลงานวิจัยที่นำเสนอในที่ประชุมวิชาการ

6.1.1 Tosapol Maluangnont, “Surface and interlayer basic sites in layered alkali titanates” (invited seminar), Department of Chemistry, Okayama University, Okayama, Japan (30/11/2015)

6.1.2 Tosapol Maluanont, “Lepidocrocite titanate as a new basic catalyst for the ketonization of long-chain fatty acids” (oral presentation), Pure and Applied Chemistry International Conference 2015, Amari Watergate Hotel, Bangkok, Thailand (22/01/2015)

6.1.3 Tosapol Maluangnont, “Basicity and oxygen vacancy in layered titanates: The conversion of fatty acids into diesel fuels” (invited seminar), The 446th MANA seminar, National Institute for Materials Science, Tsukuba, Japan (18/12/2014)